

В. Х. СИРУНЯН

## ЦИЛИНДРИЧЕСКАЯ ТРЕЩИНА В УПРУГОМ ПРОСТРАНСТВЕ

Рассматривается задача математической теории трещин касательного разрыва.

Пусть имеется цилиндрическая трещина радиуса  $R$  и длины  $2a$  в упругом пространстве с упругими постоянными  $E$  и  $v$ . На цилиндрической поверхности трещины действуют касательные силы произвольной интенсивности  $\tau(z)$ .

Требуется определить величину предельной нагрузки, необходимой для распространения равновесной трещины.

Решение поставленной задачи сводится к решению интегрального уравнения Фредгольма первого рода с ядром, выражаящимся интегралом Фурье. Решение полученного уравнения строится известными асимптотическими методами [1, 2] применительно к случаям больших и малых  $\lambda$ , где  $\lambda$  — безразмерный параметр, являющийся отношением радиуса цилиндра к полудлине трещины.

Решения для больших и малых значений  $\lambda$  перекрывают друг друга на некотором диапазоне изменения параметра  $\lambda$ .

Предварительно рассматриваются две вспомогательные задачи, на которых основывается вывод разрешающего интегрального уравнения.

### § 1. Вывод интегрального уравнения

1) Имеем упругий бесконечный цилиндр радиуса  $R$ , на боковой поверхности ( $r = R$ ) которого задано перемещение  $v = \gamma^{(1)}(z)$ . Предполагается, что на оси цилиндра ( $r = 0$ ) перемещения ограничены.

Используя из [3] соответствующие формулы, получим

$$T_{r\theta}^{(1)} = \frac{\sigma G \Gamma^{(1)}(z) \left| I_0(\alpha r) - \frac{2}{\alpha r} I_1(\alpha r) \right|}{I_1(\alpha R)} \quad (1.1)$$

где  $T_{r\theta}^{(1)}$  и  $\Gamma^{(1)}(z)$  — трансформаты Фурье касательного напряжения  $\tau_{r\theta}^{(1)}$  и перемещения  $\gamma^{(1)}(z)$ ,  $I_0(\alpha r)$  и  $I_1(\alpha r)$  — функции Бесселя мнимого аргумента,  $G$  — модуль сдвига материала.

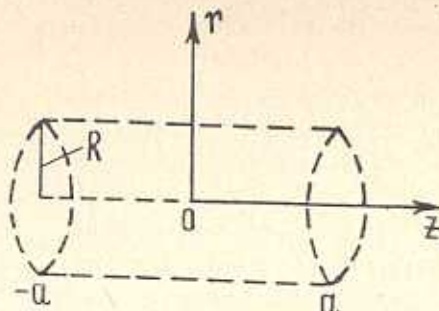
2) Имеем ослабленное бесконечным цилиндром радиуса  $R$  упругое пространство. На поверхности цилиндра ( $r = R$ ) задано перемещение  $\gamma^{(2)}(z)$ , которое предполагается ограниченным в бесконечности. Определим трансформанту Фурье касательных напряжений по формуле

$$T_{r_0}^{(2)} = - \frac{z G \Gamma^{(2)}(z) \left[ K_0(zr) + \frac{2}{zr} K_1(zr) \right]}{K_1(zR)} \quad (1.2)$$

Здесь  $K_0(zr)$  и  $K_1(zr)$  — функции Макдональда. При  $r=R$  требуем

$$\begin{cases} \tau_{r_0}^{(1)} = \tau_{r_0}^{(2)} = \gamma(z) \\ \gamma^{(2)}(z) - \gamma^{(1)}(z) = g(z) \end{cases} \quad |z| \leq a \quad (1.3)$$

$$\begin{cases} \tau_{r_0}^{(1)} = \tau_{r_0}^{(2)} \\ \gamma^{(1)}(z) = \gamma^{(2)}(z) \end{cases} \quad |z| > a \quad (1.4)$$



фиг. 1

Предполагается, что при  $r=0$  и  $r \rightarrow \infty$  перемещения и напряжения ограничены.

Учитывая (1.1), (1.2) и (1.4), получим

$$\int_{-\infty}^{\infty} F(\alpha) e^{-iz\alpha} d\alpha = 0, \quad F(z) = \Gamma^{(2)}(z) - \Gamma^{(1)}(z), \quad |z| \geq a \quad (1.5)$$

$$\frac{\Gamma^{(1)}(z) \omega_1(zR)}{I_1(zR)} = - \frac{\Gamma^{(2)}(z) \omega_2(zR)}{K_1(zR)} \quad (1.6)$$

где

$$\omega_1(zR) = I_0(zR) - \frac{2}{zR} I_1(zR), \quad \omega_2(zR) = K_0(zR) + \frac{2}{zR} K_1(zR) \quad (1.7)$$

Имея в виду (1.3) и (1.5), имеем

$$\frac{1}{2\pi} \int_{-\infty}^{\infty} F(\alpha) e^{-iz\alpha} d\alpha = \begin{cases} g(z), & |z| \leq a \\ 0, & |z| > a \end{cases} \quad (1.8)$$

Определяя из функциональных уравнений (1.5), (1.6)  $\Gamma^{(2)}(z)$  и подставляя в (1.2), с учетом (1.8) получим

$$\frac{1}{2\pi} \int_{-\infty}^{\infty} \frac{aF(z) \omega_1 \omega_2}{K_1 \omega_1 + I_1 \omega_2} e^{-iz} dz = -\frac{\tau(z)}{G} \quad |z| \leq a$$

$$\int_{-a}^a g(\xi) e^{iz\xi} d\xi = F(z)$$
(1.9)

Обозначив

$$g(\xi) = 2f(\xi) \quad (1.10)$$

и учитывая, что  $g(\pm a) = 0$ , после некоторых преобразований и интегрирования по  $z$ , найдем

$$\int_{-a}^a f'(\xi) K\left(\frac{z-\xi}{R}\right) d\xi = -\frac{\pi \tau_1(z)}{G} + c \quad (1.11)$$

$$K(t) = \int_0^\infty \frac{L(u)}{u} \cos ut du \quad u = zR \quad (1.12)$$

$$L(u) = 2 \left[ \frac{K_1}{\omega_1} + \frac{I_1}{\omega_2} \right]^{-1} \quad (1.13)$$

$$\frac{d\tau_1(z)}{dz} = \tau(z) \quad (1.14)$$

Производя в (1.11) замены переменных и вводя обозначения

$$x = \frac{\xi}{a}, \quad y = \frac{z}{a}, \quad i = \frac{R}{a}, \quad f'(\xi) = \varphi(x) \quad (1.15)$$

получим

$$\int_1^1 \varphi(x) M\left(\frac{x-y}{i}\right) dx = -\frac{\pi \tau_1(y)}{G} + c \quad (1.16)$$

$$M(t) = \int_0^\infty \frac{L(u)}{u} \cos ut du \quad (1.17)$$

## § 2. Приближенное решение уравнения (1.16) при больших $\lambda$

Ядро  $M(t)$  в окрестности  $t=0$  имеет логарифмическую особенность, поэтому представим его в виде

$$M(t) = -\ln(t) + H(t) \quad (2.1)$$

Чтобы определить  $H(t)$ , ядро  $M(t)$  представим как сумму трех интегралов

$$\begin{aligned} M(t) = \int_0^{\infty} \frac{L(u)}{u} \cos ut du &= \int_0^{0.7} \left( \frac{1}{2} - \frac{u^2}{12} \right) \cos ut du + \\ &+ \int_{0.7}^{1.5} \frac{L(u)}{u} \cos ut du + \int_{1.5}^{\infty} \left( \frac{1}{u} - \frac{15}{8u^3} + \frac{5}{2u^5} \right) \cos ut du \end{aligned} \quad (2.2)$$

В первом интеграле используется разложение в ряд бесселевых функций до членов порядка  $u^3$  для малых значений аргумента.

Здесь расхождение между  $L(u)$  и его разложением не превосходит одного процента.

В третьем интеграле используется асимптотическое разложение бесселевых функций до членов порядка  $u^{-4}$ .

Расхождение между  $L(u)$  и его разложением при больших значениях  $u$  ( $u \geq 1.5$ ) не превышает трех процентов.

Для вычисления второго интеграла используется метод Филона [4].

Ошибка, получаемая в результате применения метода Филона, имеет величину меньшую, чем  $(6.75t - 0.2t^3) \cdot 10^{-4}$ .

Учитывая вышеприведенное, для функции  $H(t)$  получим следующее выражение:

$$H(t) = \sum_{i=0}^{\infty} a_i t^{2i} + \ln |t| \sum_{i=1}^{\infty} b_i t^{2i} \quad (2.3)$$

где  $a_0 = -0.5869, \quad a_1 = 0.5309, \quad a_2 = 0.1757$

$b_1 = -0.9375, \quad b_2 = -0.1042$  и т. д.

Теперь сведем интегральное уравнение (1.16) к эквивалентному ему интегральному уравнению второго рода.

Учитывая (2.1) и (2.3), имеем

$$\begin{aligned} \varphi(y) = \frac{1}{\pi \sqrt{1-y^2}} \left[ C_1 + \int_{-1}^1 \frac{\varphi(\eta) \sqrt{1-\eta^2}}{G(\eta-y)} d\eta + \frac{1}{\pi} \sum_{i=1}^{\infty} \frac{1}{i^{2i}} \int_{-1}^1 \frac{\sqrt{1-\eta^2}}{\eta-y} \times \right. \\ \left. \times \left\{ \int_{-1}^1 \varphi(\zeta) \left( 2ia_i + b_i + 2ib_i \ln \left| \frac{\eta-\zeta}{i} \right| \right) (\eta-\zeta)^{2i-1} d\zeta \right\} dy \right] \end{aligned} \quad (2.4)$$

Следуя [1], найдем решение интегрального уравнения (2.4) в виде

$$\varphi(y) = \sum_{n=0}^{\infty} \sum_{m=0}^{\infty} k^{-2n} \varphi_{nm}(y) \quad (2.5)$$

Подставляя  $\tau(y)$  в виде (2.5) в правую и левую части интегрального уравнения (2.4) и приравнивая выражения при одинаковых степенях  $\lambda^{-2}$  и  $\ln \lambda$ , получим следующие соотношения для последовательного определения  $\varphi_{nm}(y)$ :

$$\begin{aligned}\varphi_{00}(y) &= \frac{1}{\pi \sqrt{1-y^2}} \left( C_1 + \int_{-1}^1 \frac{\tau(\eta) \sqrt{1-\eta^2}}{G(\eta-y)} d\eta \right) \\ \varphi_{10}(y) &= \frac{1}{\pi^2 \sqrt{1-y^2}} \int_{-1}^1 \frac{\sqrt{1-\eta^2}}{\eta-y} d\eta \int_{-1}^1 \varphi_{00}(\zeta) (2a_1 + b_1 + 2b_1 \ln |\eta-\zeta|) (\eta-\zeta) d\zeta \\ \varphi_{11}(y) &= -\frac{2b_1}{\pi^2 \sqrt{1-y^2}} \int_{-1}^1 \frac{\sqrt{1-\eta^2}}{\eta-y} d\eta \int_{-1}^1 \varphi_{00}(\zeta) (\eta-\zeta) d\zeta \\ \varphi_{20}(y) &= \frac{1}{\pi^2 \sqrt{1-y^2}} \int_{-1}^1 \frac{\sqrt{1-\eta^2}}{\eta-y} d\eta \int_{-1}^1 [\varphi_{10}(\zeta) (2a_1 + b_1 + 2b_1 \ln |\eta-\zeta|) (\eta-\zeta) + \\ &\quad + \varphi_{00}(\zeta) (4a_2 + b_2 + 4b_2 \ln |\eta-\zeta|) (\eta-\zeta)^3] d\zeta \\ \varphi_{21}(y) &= \frac{1}{\pi^2 \sqrt{1-y^2}} \int_{-1}^1 \frac{\sqrt{1-\eta^2}}{\eta-y} d\eta \int_{-1}^1 [\varphi_{11}(\zeta) (2a_1 + b_1 + 2b_1 \ln |\eta-\zeta|) (\eta-\zeta) - \\ &\quad - 2b_1 \varphi_{10}(\zeta) (\eta-\zeta) - 4b_2 \varphi_{00}(\zeta) (\eta-\zeta)^3] d\zeta \\ \varphi_{22}(y) &= -\frac{2b_1}{\pi^2 \sqrt{1-y^2}} \int_{-1}^1 \frac{\sqrt{1-\eta^2}}{\eta-y} d\eta \int_{-1}^1 \varphi_{11}(\zeta) (\eta-\zeta) d\zeta \text{ и т. д.} \quad (2.6)\end{aligned}$$

*Пример* (большие  $\lambda$ ). Определим коэффициент интенсивности касательных напряжений, когда касательное напряжение равномерно распределено по берегам трещины и равно

$$\tau(z) = \tau = \text{const}$$

Тогда формулы (2.6) принимают вид

$$\begin{aligned}\varphi_{00}(y) &= \frac{1}{\pi \sqrt{1-y^2}} (C_1 + Dy) \\ \varphi_{10}(y) &= \frac{1}{\pi \sqrt{1-y^2}} \left[ C_1 \left( \frac{1}{2} - y^2 \right) (2a_1 + 3b_1 - 2b_1 \ln 2) - \right. \\ &\quad \left. - Dy \left( b_1 \ln 2 - a_1 - \frac{b_1}{2} - b_1 y^2 \right) \right]\end{aligned}$$

$$\varphi_{11}(y) = -\frac{2b_1}{\pi\sqrt{1-y^2}} \left[ C_1 \left( \frac{1}{2} - y^2 \right) + \frac{Dy}{2} \right] \text{ и т. д.} \quad (2.7)$$

$$D = -\frac{\pi\lambda}{G} \quad (2.8)$$

Подставляя (2.7) в (2.5) и сохраняя члены с точностью порядка  $\lambda^{-4}$ , получим

$$\begin{aligned} \varphi(y) = & \frac{1}{\pi\sqrt{1-y^2}} \left\{ C_1 \left[ 1 + \frac{(1-2y^2)}{2\lambda^2} (2a_1 + 3b_1 - 2b_1 \ln 2\lambda) \right] + \right. \\ & \left. + Dy \left[ 1 + \frac{1}{\lambda^2} \left( a_1 + \frac{b_1}{2} - b_1 \ln 2\lambda + b_1 y^2 \right) \right] \right\} + O(\lambda^{-4}) \end{aligned} \quad (2.9)$$

Переходя в (2.9) к старым переменным и обозначениям (1.15), интегрируя  $f'(z)$  в пределах  $(-a, a)$  и учитывая  $f(\pm a) = 0$ , получим  $C_1 = 0$ .

Учитывая (2.8), окончательно для функции разрыва перемещений  $g(z)$  получим

$$g(z) = -\frac{2\pi z}{G\sqrt{a^2-z^2}} \left[ 1 + \frac{1}{\lambda^2} \left( a_1 + \frac{b_1}{2} - b_1 \ln 2\lambda + b_1 \frac{z^2}{a^2} \right) \right] + O(\lambda^{-4}) \quad (2.10)$$

Коэффициент интенсивности касательных напряжений в точках  $z=a$  и  $z=-a$  определим из условий

$$\begin{aligned} T_a &= -\frac{G}{2} \lim_{z \rightarrow a} \sqrt{a-z} \frac{d}{dz} g(z) \\ T_{-a} &= \frac{G}{2} \lim_{z \rightarrow -a} \sqrt{a+z} \frac{d}{dz} g(z) \end{aligned} \quad (2.11)$$

В табл. 1 приведено значение  $\tau^* = \frac{\tau V R}{T_a}$

Таблица 1\*)

| $\lambda = \frac{R}{a}$ | 1.9   | 2.0   | 3.0   | 4.0   | 6.0   |
|-------------------------|-------|-------|-------|-------|-------|
| $\tau^*$                | 1.595 | 1.655 | 2.190 | 2.630 | 3.310 |

\*) При составлении табл. 1 в уравнении (2.10) учтены также члены, содержащие  $\lambda^{-4}$ .

### § 3. Приближенное решение уравнения (1.11) при малых $\lambda$

Ядро уравнения (1.11) имеет вид

$$K(t) = \int_0^t \frac{L(u)}{u} \cos ut du \quad \begin{cases} L(u) \rightarrow 1 & \text{при } u \rightarrow \infty \\ L(u) \rightarrow Au & \text{при } u \rightarrow 0 \end{cases} \quad (3.1)$$

Функцию  $L(u)$  в зависимости от требуемой точности можно аппроксимировать разными выражениями (смотри в [2] формулы (1.3), (1.4) и (1.5)).

Здесь функцию  $L(u)$  будем аппроксимировать выражением

$$L(u) = \frac{\sqrt{u^2 + B^2}}{u^2 + C} u, \quad \left( \frac{B}{C} = A \right) \quad (3.2)$$

Рассмотрим наряду с уравнением (1.11) вспомогательные уравнения

$$\int_{-\infty}^a f'_-(\xi) K\left(\frac{z-\xi}{R}\right) d\xi = -\frac{\pi \tau_1(z)}{G} + c \quad (-\infty < z \leq a) \quad (3.3)$$

$$\int_{-a}^z f'_+(\xi) K\left(\frac{z-\xi}{R}\right) d\xi = -\frac{\pi \tau_1(z)}{G} + c \quad (-a \leq z < \infty) \quad (3.4)$$

$$\int_{-\infty}^z V(\xi) K\left(\frac{z-\xi}{R}\right) d\xi = -\frac{\pi \tau_1(z)}{G} + c \quad (|z| < \infty) \quad (3.5)$$

Представим нулевой член асимптотики решения уравнения (1.11) в виде комбинации решений интегральных уравнений (3.3), (3.5)

$$f'(z) = f'_+(z) + f'_-(z) - V(z) \quad (3.6)$$

Решения уравнений (3.3) и (3.4) могут быть получены методом Винера-Хопфа, а решение уравнения (3.5) — применением теоремы о свертках для преобразования Фурье. Итак, приближенное решение (3.6) уравнения (1.11) при малых  $\lambda$  всегда может быть построено.

Принимая, что касательное напряжение равномерно распределено по берегам трещины, получим  $\tau_1(z) = \tau(z)$ .

Решения интегральных уравнений (3.3), (3.4) и (3.5) соответственно будут иметь вид

$$f'_-(z) = \frac{c}{R} \varphi_0\left(\frac{a-z}{R}\right) - z \left[ \frac{1}{\lambda} \varphi_0\left(\frac{a-z}{R}\right) - \varphi_1\left(\frac{a-z}{R}\right) \right] \quad (3.7)$$

$$f'_+(z) = \frac{c}{R} \varphi_0\left(\frac{a+z}{R}\right) + z \left[ \frac{1}{\lambda} \varphi_0\left(\frac{a+z}{R}\right) - \varphi_1\left(\frac{a+z}{R}\right) \right] \quad (3.8)$$

$$V(z) = \frac{c - z^2}{ARG} \quad (3.9)$$

тогда

$$\varphi_0(t) = \frac{1}{GV\bar{A}} \left( \frac{1}{V\bar{A}} \operatorname{erf} V\bar{B}t + \frac{e^{-Bt}}{\sqrt{\pi t}} \right)$$

$$\varphi_1(t) = \frac{1}{G} \left( c_{11} \varphi_0(t) + c_{21} \int_0^t \varphi_0(u) du \right)$$

$$c_{11} = \frac{1}{2B\bar{V}\bar{A}} - \frac{1}{V\bar{B}}, \quad c_{21} = \frac{1}{V\bar{A}}, \quad B = 1.5$$

$$\varphi_0(t) = \frac{1}{G\cdot A} \left[ t \cdot \operatorname{erf} V\bar{B}t + \left( \frac{t}{V\bar{B}} + \frac{\sqrt{\bar{A}}}{2B} - \frac{\bar{A}}{V\bar{B}} \right) \frac{e^{-Bt}}{\sqrt{\pi t}} \right]$$

Подставляя значение (3.7) — (3.9) в (3.6), получим

$$f'(z) = \frac{c}{R} \left[ \varphi_0 \left( \frac{a+z}{R} \right) + \varphi_0 \left( \frac{a-z}{R} \right) \right] + \tau \left[ \frac{1}{i} \varphi_0 \left( \frac{a+z}{R} \right) - \frac{1}{i} \varphi_0 \left( \frac{a-z}{R} \right) + \varphi_1 \left( \frac{a-z}{R} \right) - \varphi_1 \left( \frac{a+z}{R} \right) \right] \quad (3.10)$$

Неизвестная постоянная  $c$  определяется из условия  $f(\pm a) = 0$ .

Интегрируя (3.10) по  $z$  в пределах  $(-a, a)$ , получим  $c = 0$ .

По формулам (2.11) определим коэффициент интенсивности касательных напряжений при малых значениях  $\lambda$ .

Учитывая при этом, что

$$\lim_{z \rightarrow a} V\bar{A}-z \varphi_0 \left( \frac{a+z}{R} \right) = 0, \quad \lim_{z \rightarrow a} V\bar{A}-z \varphi_1 \left( \frac{a+z}{R} \right) = 0$$

$$\lim_{z \rightarrow a} V\bar{A}-z \varphi_0 \left( \frac{a-z}{R} \right) = \frac{\sqrt{R}}{GV\bar{A}\pi}$$

$$\lim_{z \rightarrow a} V\bar{A}-z \varphi_1 \left( \frac{a-z}{R} \right) = \frac{\sqrt{R}}{GV\bar{A}\pi} \left( \frac{1}{2B} - \frac{\sqrt{\bar{A}}}{V\bar{B}} \right)$$

для предельной нагрузки получим

$$\tau^* = \frac{\tau\sqrt{R}}{T_a} = V\bar{A}\pi \left( \frac{1}{\lambda} - \frac{1}{2B} + \frac{\sqrt{\bar{A}}}{V\bar{B}} \right)^{-1} \quad (3.11)$$

В табл. 2 приведены значения  $\tau^*$ , подсчитанные по формуле (3.11) для разных значений  $\lambda$ .

Таблица 2

| $\lambda$ | 1/8   | 1/4   | 1/2   | 3/4   | 1.0   | 1.5   | 1.9   | 2.0   |
|-----------|-------|-------|-------|-------|-------|-------|-------|-------|
| $\tau^*$  | 0.152 | 0.295 | 0.558 | 0.795 | 1.007 | 1.375 | 1.628 | 1.681 |

Сравнивая значения  $\tau^*$  для больших и малых  $\lambda$ , приходим к выводу, что для значений  $\lambda$ , близких к двум, оба решения перекрывают друг друга.

Автор благодарит В. М. Александрова за постановку задачи и ценные замечания.

Кироваканский филиал Ереванского  
политехнического института им. К. Маркса

Поступила 29.I.1973

д. н. УИРЮНЯН

### ԳԼՈՒԽԻՆ ՃԱՐ ԱՌԱՋԳՈՒԱՆՆ ՏԱՐԱԾՈՒԹՅԱՆ ՄԵջ

Ա մ փ ո փ ու մ

Առածղական տարածության մեջ ունենք գլանալին ճար, որի կողմնալին մակերևույթի վրա ազգում են շոշափող ուժեր:

Դիտարկված խնդիրը բերվում է ճարի ափերի շոշափողի ուղղությամբ անհայտ տեղափոխության խզման նկատմամբ ինտեղրալ հավասարման:

Ստացված ինտեղրալ հավասարումը լուծվում է մեծ և փոքր և պարամետրեիր եղանակով, որտեղ  $\lambda$ -ն շափողականություն շունչցող մեծություն է և հանդիսանում է զլանի շառավիղի և ճարի կիսաերկարությանը հարաբերությունը:

Պարամետրի փոփոխման որոշ սահմանում՝  $\lambda$ -ի մեծ և փոքր արժեքներին համապատասխանող լուծումները համբեկնում են:

Ստացված էն բանաձևեր սահմանալին բերի որոշման համար:

### A CYLINDRICAL CRACK IN AN ELASTIC SPACE

V. Kh. SIRUNIAN

S u m m a r y

A problem in the mathematical theory of cracks is considered. In an elastic space there is a cylindrical crack with a tangential stress applied to its boundary surface. Some formulas for determination of limiting load are derived.

## ЛИТЕРАТУРА

1. Александров В. М. Осьсимметричная задача о действии кольцевого штампа на упругое полупространство. МТТ, № 4, 1967.
2. Александров В. М., Бабешко В. А. Контактные задачи для упругой полосы малой толщины. Изв. АН СССР, Механика, т. I, № 2, 1965.
3. Лурье А. И. Пространственные задачи теории упругости. Гостехиздат, М., 1955.
4. Снейдерсон И. Преобразования Фурье. ИЛ, М., 1955.
5. Янке Е., Эмде Ф., Леш Ф. Специальные функции. Изд-во «Наука», М., 1964.